

УДК 539.3: 517.958

## ДИНАМИКА ДЕФОРМИРОВАНИЯ УПРУГОЙ СРЕДЫ С НАЧАЛЬНЫМИ НАПРЯЖЕНИЯМИ

Е. И. Роменский<sup>\*,\*\*</sup>, Е. В. Лысь<sup>\*\*\*</sup>, В. А. Чеверда<sup>\*\*\*</sup>, М. И. Эпов<sup>\*\*\*</sup>

\* Институт математики им. С. Л. Соболева СО РАН, 630090 Новосибирск, Россия

\*\* Новосибирский государственный университет, 630090 Новосибирск, Россия

\*\*\* Институт нефтегазовой геологии и геофизики им. А. А. Трофимука СО РАН,  
630090 Новосибирск, Россия

E-mails: evrom@math.nsc.ru, LysEV@ipgg.sbras.ru, CheverdaVA@ipgg.sbras.ru,  
EповMI@ipgg.sbras.ru

В форме гиперболической системы дифференциальных уравнений первого порядка сформулированы определяющие уравнения движения упругой среды с заданными начальными напряжениями. Выведены уравнения распространения малых возмущений в предварительно напряженной изотропной среде с произвольной зависимостью энергии упругой деформации от тензора деформаций и приведены уравнения для квадратичной зависимости энергии упругой деформации от тензора деформаций.

Ключевые слова: движение упругой среды, начальные напряжения, упругие волны.

DOI: 10.15372/PMTF20170518

Исследованию проблемы распространения упругих волн в предварительно напряженных средах посвящено большое количество работ, начиная с классической монографии М. Био [1]. Влияние начальных напряжений на динамику деформирования изучалось при решении ряда конкретных задач. Например, волновые поля в предварительно напряженных средах исследовались с целью реконструкции остаточных напряжений при изготовлении конструкционных материалов (композитов, закаленных стекол и т. д.) (см., например, [2, 3]). Большое количество задач, связанных с динамикой предварительно напряженных упругих конструкций, приведено в [4]. В ряде работ, посвященных аналитическому изучению волн в напряженных средах на основе теории Био, исследовано влияние напряжений на Р- и S-волны (см. [5]). Затухание термоупругих волн в анизотропной предварительно напряженной среде аналитически изучалось в работе [6]. В [6] также отмечено, что учет напряженного состояния при анализе сейсмических волн позволяет получить более полное представление о структуре Земли, например в окрестности границы земной коры и мантии. В работе [7] теоретически исследовалось влияние начальных напряжений на Р-волны. В [8] выведены уравнения волновых процессов в предварительно напряженной упругой среде. Получены уравнения второго порядка для перемещений среды и приведен акустический тензор, зависящий от начальных напряжений. Среди работ, посвященных

---

Работа выполнена при финансовой поддержке Российского фонда фундаментальных исследований (код проекта 15-05-01310) и в рамках Программы фундаментальных исследований Президиума РАН № 2 (проект № 121).

© Роменский Е. И., Лысь Е. В., Чеверда В. А., Эпов М. И., 2017

исследованию задач геофизики (акустического каротажа), следует отметить работу [9], в которой изучалось влияние предварительных напряжений в окрестности скважины на распространение волн Стоунли. Также в [9] численно показано, что влияние предварительных напряжений на волны в трубе может быть существенным.

Как известно, в классическом подходе для описания волновых полей в теории упругости используются дифференциальные уравнения второго порядка для перемещений (уравнения Ламе). При численном решении уравнений теории упругости современными высокоточными методами более целесообразно использовать определяющие уравнения, записанные в виде системы дифференциальных уравнений первого порядка. Например, в задачах сейсмологии применяются уравнения, записанные через скорости и напряжения. В работе [10] для моделирования динамики деформируемых сред при конечных деформациях впервые использована гиперболическая система уравнений первого порядка. Результаты, полученные с помощью этого подхода, обобщены в монографии [11]. В настоящее время данный подход является общепризнанным и широко используется при решении различных задач (см., например, работы [12–15] и библиографию к ним).

В данной работе выводятся уравнения динамики упругой среды с начальными напряжениями, записанные через скорости и дисторсии в виде системы дифференциальных уравнений первого порядка в дивергентной форме. В предположении, что поле начальных напряжений удовлетворяет условиям равновесия, выводятся уравнения движения в смешанной формулировке Лагранжа — Эйлера. Уравнения движения записаны в лагранжевых координатах, а тензор напряжений для обеспечения его симметричности отнесен к эйлеровым координатам. Получены также уравнения распространения малых возмущений в предварительно напряженной среде с энергией упругой деформации изотропной среды произвольного вида и конкретизирован их вид для случая квадратичной зависимости энергии упругой деформации от тензора деформаций. Показано, что наличие начальных напряжений приводит к анизотропии распространения волн. В работах [16, 17] предложенный подход использован при исследовании распространения сейсмических волн в геологических формациях с зонами концентрации начальных напряжений.

**1. Конечные деформации предварительно напряженной среды.** Ниже приводятся различные формулировки уравнений динамики среды с начальными напряжениями при конечных деформациях.

1.1. *Эйлерова формулировка уравнений динамики среды с начальными напряжениями при конечных деформациях.* Рассмотрим деформируемую среду в декартовой системе координат, в которой начиная с момента наблюдения  $t = 0$  имеется поле начальных напряжений  $\Sigma_{ij}$ . Для полного описания деформирования предварительно напряженной среды необходимо использовать три координатные системы, а именно эйлерову систему координат наблюдателя  $y^i$ , лагранжеву начальную систему координат  $x^i$  и систему координат  $\xi^i$ , связанную со средой в ненапряженном состоянии. Введение системы, связанной с ненапряженным состоянием среды, необходимо для определения упругих деформаций, обусловленных наличием поля начальных напряжений.

Полное описание процесса деформирования среды может быть получено с помощью двух градиентов деформаций, которые будем называть также дисторсиями, характеризующими деформации элемента среды при переходе из конфигурации, соответствующей ненапряженному состоянию, в лагранжеву конфигурацию:  $F_{0j}^i = \partial x^i / \partial \xi^j$ , и деформации элемента при переходе из лагранжевой конфигурации в текущую конфигурацию:  $F_j^i = \partial y^i / \partial x^j$ . С использованием этих дисторсий деформация элемента при переходе из конфигурации, соответствующей ненапряженному состоянию, в эйлерову конфигурацию описывается тен-

зором полной дисторсии

$$F_{totj}^i = \frac{\partial y^i}{\partial \xi^j} = \frac{\partial y^i}{\partial x^\alpha} \frac{\partial x^\alpha}{\partial \xi^j} = F_\alpha^i F_{0j}^\alpha.$$

Далее целесообразно использовать тензоры дисторсии, обратные  $F_{0j}^i$ ,  $F_j^i$ ,  $F_{totj}^i$ :

$$f_{0j}^i = \frac{\partial \xi^i}{\partial x^j}, \quad f_j^i = \frac{\partial x^i}{\partial y^j}, \quad f_{totj}^i = \frac{\partial \xi^i}{\partial y^j} = f_{0\alpha}^i f_j^\alpha.$$

Напряжения в гиперупругой среде, возникающие при ее деформировании, связаны с тензором деформаций посредством энергии упругой деформации, зависящей от тензора деформаций, выбранного тем или иным способом. Следуя [11], будем использовать метрический тензор деформаций (тензор деформаций Фингера), который связан с определенным выше тензором дисторсии формулой

$$G_{ij} = f_{toti}^\alpha f_{totj}^\alpha = f_i^\alpha f_{0\alpha}^\beta f_{0\gamma}^\beta f_j^\gamma = f_i^\alpha G_{0\alpha\gamma} f_j^\gamma, \quad (1)$$

где  $G_{0\alpha\gamma} = f_{0\alpha}^\beta f_{0\gamma}^\beta$  — тензор Фингера, соответствующий деформации элемента среды при переходе из конфигурации, соответствующей ненапряженному состоянию, в лагранжеву конфигурацию с предварительно заданными напряжениями.

Далее используются матричные обозначения и операции. Введем следующие обозначения:

$$F = \{F_j^i\}, \quad F_0 = \{F_{0j}^i\}, \quad f = \{f_j^i\}, \quad f_0 = \{f_{0j}^i\}, \quad G = \{G_j^i\}, \quad G_0 = \{G_{0j}^i\}.$$

В принятых обозначениях определение (1) метрического тензора деформаций в матричной форме записывается следующим образом:

$$G = f^T G_0 f$$

(верхний индекс “т” обозначает транспонирование).

Введенные выше величины, характеризующие деформацию, описывают, в частности, изменение плотности  $\rho$ , которая с использованием различных тензоров дисторсии вычисляется по формулам [11]

$$\rho = \frac{\rho_{00}}{\det F_{tot}} = \frac{\rho_{00}}{\det F \det F_0} = \frac{\rho_0}{\det F},$$

$$\rho = \rho_{00} \det f_{tot} = \rho_{00} \det f \det f_0 = \rho_0 \det f,$$

где  $\rho_{00}$  — плотность среды в разгруженном, свободном от напряжений состоянии;  $\rho_0$  — плотность в начальной лагранжевой конфигурации.

Уравнения движения деформируемой среды с начальными напряжениями включают уравнения сохранения импульса и кинематические уравнения эволюции меры деформаций. Обозначим поле скоростей движения среды  $u^i = \partial y^i / \partial t$ . В отсутствие внешних сил закон сохранения импульса в эйлеровой системе координат  $y^i$  в дифференциальной форме имеет вид

$$\frac{\partial \rho u^i}{\partial t} + \frac{\partial (\rho u^i u^k - \sigma^{ik})}{\partial y^k} = 0, \quad (2)$$

где тензор напряжений  $\sigma^{ik}$  вычисляется по формуле, связывающей напряжения и деформации посредством упругой внутренней энергии  $E(G_{11}, \dots, G_{33})$  [11]:

$$\sigma^{ij} = -2\rho \frac{\partial E}{\partial G_{\alpha j}} G_{\alpha i}. \quad (3)$$

Заметим, что, поскольку рассматриваются декартовы системы координат, величины с одними и теми же верхними и нижними индексами не различаются и используется произвольное расположение индексов. Тензор (3) называется тензором напряжений Коши и является симметричным, в отличие от лагранжева тензора напряжений Пиолы — Кирхгофа. Энергия упругой деформации в случае изотропной среды зависит от трех независимых инвариантов тензора  $G$ . При этом согласно теореме Кэли — Гамильтона тензор напряжений может быть выражен как квадратичный полином от тензора деформаций  $G$ :

$$\sigma = l_0 I + l_1 G + l_2 G^2. \quad (4)$$

Здесь  $I$  — единичная матрица; коэффициенты  $l_0, l_1, l_2$  зависят от инвариантов и определяются видом энергии упругой деформации.

Кинематика деформаций определяется полем скоростей. Уравнения эволюции тензоров дисторсии могут быть получены из определения упругой дисторсии  $F_j^i = \partial y^i / \partial x^j$  с учетом определения скорости  $u^i = \partial y^i / \partial t$ :

$$\frac{\partial F_j^i}{\partial t} = \frac{\partial u^i}{\partial x^j}. \quad (5)$$

Уравнение (5), записанное в лагранжевых координатах, несложно преобразовать в уравнение, записанное в эйлеровых координатах. Для этого надо заменить производную по времени  $\partial / \partial t$  на материальную производную вдоль траектории

$$\frac{d}{dt} = \frac{\partial}{\partial t} + u^\alpha \frac{\partial}{\partial y^\alpha}.$$

Кроме того, следует выполнить замену пространственных переменных по формуле

$$\frac{\partial}{\partial x^j} = \frac{\partial y^\alpha}{\partial x^j} \frac{\partial}{\partial y^\alpha} = F_j^\alpha \frac{\partial}{\partial y^\alpha}.$$

В результате получаем уравнение

$$\frac{\partial F_j^i}{\partial t} + u^\alpha \frac{\partial F_j^i}{\partial y^\alpha} = F_j^\alpha \frac{\partial u^i}{\partial y^\alpha}. \quad (6)$$

Обозначая тензор градиентов скорости в лагранжевых и эйлеровых координатах соответственно

$$\nabla_0 u = \left\{ \frac{\partial u^i}{\partial x^\alpha} \right\}, \quad \nabla u = \left\{ \frac{\partial u^i}{\partial y^\alpha} \right\},$$

запишем уравнения (5), (6) в матричной форме

$$\frac{dF}{dt} = \frac{\partial F}{\partial t} + u^\alpha \frac{\partial F}{\partial y^\alpha} = \nabla u F, \quad \frac{\partial F}{\partial t} = \nabla_0 u. \quad (7)$$

Из уравнений (7) нетрудно вывести уравнение в эйлеровых координатах для градиента деформации  $f$ , используя формулы  $df = dF^{-1} = -F^{-1} dF F^{-1} = -f dF f$ :

$$\frac{df}{dt} = -f \nabla u. \quad (8)$$

Получим уравнение для тензора деформаций Фингера. Заметим, что тензор Фингера, соответствующий деформации элемента среды при переходе из конфигурации, соответствующей ненапряженному состоянию, в лагранжеву конфигурацию, не изменяется вдоль траектории движения этого элемента:

$$\frac{dG_0}{dt} = 0.$$

Используя определение тензора деформаций Фингера  $G = f^T G_0 f$  и тождество

$$\frac{dG}{dt} = \frac{df^T G_0 f}{dt} = \frac{df^T}{dt} G_0 f + f^T \frac{dG_0}{dt} f + \frac{df^T G_0}{dt} f,$$

получаем уравнение

$$\frac{dG}{dt} = -G \nabla u - \nabla^T u G. \quad (9)$$

Заметим, что тензор Фингера в недеформированном состоянии образует единичную матрицу, поэтому в ряде случаев можно использовать тензор Альманси  $\varepsilon = (I - G)/2 = \{\varepsilon_{ij}\}$ , который является нулевым в недеформированном состоянии. Уравнения для тензора Альманси в матричной и покомпонентной формах имеют вид

$$\begin{aligned} \frac{d\varepsilon}{dt} &= \frac{1}{2} (\nabla u + \nabla^T u) - \varepsilon \nabla u - \nabla^T u \varepsilon, \\ \frac{d\varepsilon_{ij}}{dt} &= \frac{1}{2} \left( \frac{\partial u^i}{\partial y^j} + \frac{\partial u^j}{\partial y^i} \right) - \varepsilon_{i\alpha} \frac{\partial u^\alpha}{\partial y^j} - \varepsilon_{j\alpha} \frac{\partial u^\alpha}{\partial y^i}. \end{aligned}$$

Из уравнений, характеризующих кинематику деформаций, можно вывести уравнение для плотности, представляющее собой закон сохранения массы в дифференциальной форме. Для этого следует использовать уравнения эволюции какой-либо дисторсии и связь плотности с дисторсией. Уравнение для плотности имеет вид

$$\frac{\partial \rho}{\partial t} + \frac{\partial \rho u^k}{\partial x^k} = 0. \quad (10)$$

Для описания тепловых эффектов, возникающих при деформировании среды с начальными напряжениями, необходимо также ввести энтропию  $S$  в качестве параметра состояния. В этом случае энергия упругой деформации зависит от тензора деформаций и энтропии:  $E = E(G_{11}, \dots, G_{33}, S)$ , а температура определяется формулой  $T = \partial E / \partial S$ . В случае упругого деформирования (диссипация отсутствует) уравнение эволюции энтропии имеет вид

$$\frac{dS}{dt} = 0. \quad (11)$$

Важным свойством рассматриваемых процессов является выполнение закона сохранения энергии, который может быть получен из (9), (11). Действительно, заметим, что

$$\frac{dE}{dt} = \frac{\partial E}{\partial G_{ij}} \frac{dG_{ij}}{dt} = -\frac{\partial E}{\partial G_{ij}} G_{i\alpha} \frac{\partial u^\alpha}{\partial y^j} - \frac{\partial E}{\partial G_{ij}} G_{j\alpha} \frac{\partial u^\alpha}{\partial y^i} = -2 \frac{\partial E}{\partial G_{ij}} G_{j\alpha} \frac{\partial u^\alpha}{\partial y^i}.$$

С учетом формулы для вычисления напряжений (3) уравнение изменения энергии упругой среды принимает вид

$$\rho \frac{dE}{dt} = \sigma_{ij} \frac{\partial u^i}{\partial y^j}.$$

Таким образом, сформулированы определяющие уравнения движения упругодеформируемой среды с начальными напряжениями. Приведем замкнутую систему уравнений в эйлеровых координатах. Поскольку можно использовать уравнения для  $F$ ,  $f$  или  $G$ , в выборе определяющих уравнений для меры деформаций имеется произвол. Приведем одну из возможных систем, все уравнения которой можно записать в дивергентной форме. Такая система уравнений имеет преимущество при разработке эффективных численных методов и анализе разрывных решений. Так как имеет место условие совместности для дисторсии

$$\frac{\partial f_j^i}{\partial x^k} - \frac{\partial f_k^i}{\partial x^j} = 0,$$

уравнения для дисторсии  $f$  можно записать в дивергентном виде

$$\frac{\partial f_j^i}{\partial t} + \frac{\partial u^\alpha f_\alpha^i}{\partial y^j} = 0.$$

Таким образом, один из возможных вариантов замкнутой системы уравнений в дивергентной форме имеет вид

$$\begin{aligned} \frac{\partial \rho u^i}{\partial t} + \frac{\partial (\rho u^i u^k - \sigma^{ik})}{\partial y^k} &= 0, & \frac{\partial f_k^i}{\partial t} + \frac{\partial u^\alpha f_\alpha^i}{\partial y^k} &= 0, \\ \frac{\partial \rho (E + u^i u^i / 2)}{\partial t} + \frac{\partial (\rho u^k (E + u^i u^i / 2) - u^\alpha \sigma_{\alpha k})}{\partial y^k} &= 0. \end{aligned}$$

Полученные уравнения движения предварительно напряженной среды аналогичны уравнениям, описывающим среду без начальных напряжений, и имеют те же преимущества: являются гиперболическими и дивергентными. Отличие заключается только в том, что при движении среды начальные напряжения оказывают влияние на параметры состояния. Сформулированные уравнения допускают непосредственное обобщение на случай неупругих деформаций. Это обобщение может быть выполнено аналогично тому, как это сделано в работе [12].

Заметим, что определяющие уравнения в дивергентной форме могут быть сформулированы и через дисторсию  $F$ . В этом случае полная система определяющих уравнений будет аналогична системе, сформулированной в [13].

1.2. *Формулировка Лагранжа — Эйлера уравнений динамики среды с начальными напряжениями при конечных деформациях.* Сформулируем уравнения в лагранжевых координатах с симметричным тензором напряжений Коши. Симметрия тензора напряжений играет важную роль при формулировке уравнений, поскольку начальные напряжения должны удовлетворять условиям равновесия с симметричным тензором. Так как далее тепловые эффекты не рассматриваются, изменение температуры не учитывается и энтропия не включается в число параметров состояния. Таким образом, для того чтобы описать упругие волны, необходимо записать уравнения (2), (8) в лагранжевых координатах, сохранив при этом выражение для напряжений в виде (3). Для этого проведем стандартные преобразования, а именно заменим производную вдоль траектории  $\partial/\partial t + u^\alpha \partial/\partial y^\alpha$  на частную производную по времени  $\partial/\partial t$  и выполним замену пространственных координат

$$\frac{\partial}{\partial y^k} = \frac{\partial x^\alpha}{\partial y^k} \frac{\partial}{\partial x^\alpha} = f_k^\alpha \frac{\partial}{\partial x^\alpha}.$$

Заметим, что уравнение для импульса с использованием уравнения для плотности (10) можно записать в эквивалентной форме

$$\rho \frac{\partial u^i}{\partial t} + \rho u^\alpha \frac{\partial u^i}{\partial y^\alpha} - \frac{\partial \sigma^{ik}}{\partial y^k} = 0,$$

а при переходе к лагранжевым координатам — в виде

$$\rho \frac{\partial u^i}{\partial t} - f_k^j \frac{\partial \sigma^{ik}}{\partial x^j} = 0,$$

или

$$\rho_0 \frac{\partial u^i}{\partial t} - \frac{\rho_0}{\rho} f_k^j \frac{\partial \sigma^{ik}}{\partial x^j} = 0. \tag{12}$$

В уравнении (12) тензор напряжений является симметричным тензором напряжений Коши, вычисляемым по формуле (3):

$$\sigma^{ik} = -2\rho \frac{\partial E}{\partial G_{\alpha k}} G_{\alpha i}.$$

Уравнения для дисторсии  $f$  в лагранжевых координатах имеют вид

$$\frac{\partial f_j^i}{\partial t} + f_\alpha^i \frac{\partial u^\alpha}{\partial x^\beta} f_j^\beta = 0. \quad (13)$$

Далее уравнения (12), (13) используются при выводе уравнений распространения волн малых возмущений в среде с начальными напряжениями.

**2. Уравнения для малых возмущений предварительно напряженного состояния.** Определим характеристики малых деформаций, создаваемых относительно заданного поля начальных деформаций. Как описано выше, предварительно напряженное состояние в лагранжевых координатах задается тензором деформаций Фингера  $G_{0ij}$ . Дисторсия  $f$ , характеризующая деформацию элемента среды при переходе из начальной лагранжевой конфигурации в текущую конфигурацию, может быть выражена через вектор перемещений  $v^i = y^i - x^i$ :

$$f_j^i = \frac{\partial x^i}{\partial y^j} = \frac{\partial (y^i - (y^i - x^i))}{\partial y^j} = \delta_j^i - \frac{\partial v^i}{\partial y^j}.$$

Вводя обозначение  $V_j^i = \partial v^i / \partial y^j$  и полагая, что перемещения, а значит, и величины  $V_j^i$  малы, определим тензор малых деформаций  $\epsilon_{ij}$  и тензор малых поворотов  $\omega_{ij}$ :

$$\epsilon_{ij} = \frac{1}{2} (V_j^i + V_i^j) = \frac{1}{2} \left( \frac{\partial v^i}{\partial y^j} + \frac{\partial v^j}{\partial y^i} \right), \quad \omega_{ij} = \frac{1}{2} (V_j^i - V_i^j) = \frac{1}{2} \left( \frac{\partial v^i}{\partial y^j} - \frac{\partial v^j}{\partial y^i} \right). \quad (14)$$

Выражения для тензоров деформаций Фингера и Альманси с точностью до членов первого порядка малости имеют вид

$$G_{ij} = G_{0ij} - G_{0\alpha j} V_i^\alpha - G_{0i\alpha} V_j^\alpha; \\ \epsilon_{ij} = \epsilon_{0ij} - \epsilon_{0\alpha j} V_i^\alpha - \epsilon_{0i\alpha} V_j^\alpha + (V_j^i + V_i^j)/2. \quad (15)$$

С использованием приведенных выше формул получим уравнения для малых возмущений предварительно напряженной среды. Предположим, что поле напряжений представляет собой сумму предварительных напряжений и их возмущений:  $\sigma_{ij} = \Sigma_{ij} + s_{jj}$ . Заметим, что поле начальных напряжений  $\Sigma$  должно удовлетворять условиям равновесия в лагранжевых координатах

$$\frac{\partial \Sigma_{ij}}{\partial x^i} = 0.$$

Поскольку в уравнении (12) плотность  $\rho$  отсчитывается от ее лагранжева значения  $\rho_0$ , при вычислении с точностью до членов первого порядка малости имеем  $\rho = \rho_0(1 - \text{tr}(V + V^T)/2)$ .

С учетом сказанного выше уравнение (12) можно записать в виде

$$\rho_0 \frac{\partial u^i}{\partial t} - (\delta_k^j - V_k^j) \left( 1 + \frac{1}{2} \text{tr}(V + V^T) \right) \frac{\partial (\Sigma^{ik} + s^{ik})}{\partial x^j} = 0.$$

Отсюда с точностью до членов первого порядка малости получаем

$$\rho_0 \frac{\partial u^i}{\partial t} - \frac{\partial s^{ik}}{\partial x^k} + V_k^j \frac{\partial \Sigma^{ik}}{\partial x^j} = 0. \quad (16)$$

Таким образом, получено уравнение для скоростей малых возмущений, в котором производные от компонент тензора начальных напряжений создают источники. Для замыкания системы уравнений для малых возмущений предварительно напряженного состояния необходимо получить формулы, связывающие возмущения напряжений  $s^{ik}$  и градиенты перемещений  $V_k^j$ . Используем матричную формулу (4) для вычисления напряжений, в которую

подставим разложения для тензора деформаций Фингера и его квадрата:

$$\begin{aligned} G &= G_0 - V^T G_0 - G_0 V, \\ G^2 &= G_0^2 - G_0(V + V^T)G_0 - G_0^2 V - V^T G_0^2. \end{aligned} \quad (17)$$

С учетом (17) разложение тензора напряжений имеет вид

$$\begin{aligned} \sigma &= l_0 I + l_1 G + l_2 G^2 = \Sigma - \Sigma V - V^T \Sigma + l_0^0 (V + V^T) - l_2^0 G_0 (V + V^T) G_0 - \\ &\quad - \left( \frac{\partial l_0}{\partial G_{ij}} I + \frac{\partial l_1}{\partial G_{ij}} G_0 + \frac{\partial l_2}{\partial G_{ij}} G_0^2 \right) (V^T G_0 + G_0 V)_{ij}, \end{aligned}$$

где  $l_0^0, l_2^0$  — значения  $l_0$  и  $l_2$ , вычисленные при  $G = G_0$ . Следовательно, возмущение начального поля напряжений равно

$$\begin{aligned} s &= -\Sigma V - V^T \Sigma + l_0^0 (V + V^T) - l_2^0 G_0 (V + V^T) G_0 - \\ &\quad - \left( \frac{\partial l_0}{\partial G_{ij}} I + \frac{\partial l_1}{\partial G_{ij}} G_0 + \frac{\partial l_2}{\partial G_{ij}} G_0^2 \right) (V^T G_0 + G_0 V)_{ij}. \end{aligned} \quad (18)$$

Тензор Фингера  $G_0$  предварительно напряженного состояния связан с тензором начальных напряжений  $\Sigma$  и должен быть вычислен по формуле

$$\Sigma = l_0^0 I + l_1^0 G_0 + l_2^0 G_0^2.$$

Наконец, уравнение для  $V_j^i$  может быть получено из (13) после отбрасывания членов второго порядка малости:

$$\frac{\partial V_j^i}{\partial t} - \frac{\partial u^i}{\partial x_j} = 0. \quad (19)$$

Таким образом, выведены уравнения (16), (19), описывающие распространение волн малых возмущений упругой среды с начальными напряжениями и образующие систему дифференциальных уравнений для переменных  $u^i, V_j^i$  с замыкающими соотношениями (18). Эти уравнения применимы для произвольной зависимости энергии упругой деформации от инвариантов тензора деформаций, при этом свойства среды определяются в замыкающих соотношениях (18) коэффициентами  $l_0, l_1, l_2$ .

**3. Уравнения распространения упругих волн в предварительно напряженной среде с квадратичной зависимостью энергии упругой деформации от тензора деформаций.** Сформулируем уравнения, описывающие распространение волн малой амплитуды в изотропной среде с начальными напряжениями для квадратичной зависимости энергии упругой деформации от тензора деформаций:

$$E = \frac{\lambda}{2\rho_{00}} (\varepsilon_{11} + \varepsilon_{22} + \varepsilon_{33})^2 + \frac{\mu}{\rho_{00}} (\varepsilon_{ij}\varepsilon_{ji}).$$

Здесь  $\lambda, \mu$  — параметры Ламе;  $\rho_{00}$  — плотность среды в ненапряженном состоянии; тензор деформации Альманси  $\varepsilon_{ij}$  отсчитывается от ненапряженного состояния. Напряжения, вычисленные с использованием тензора Альманси  $\varepsilon$ , имеют вид

$$\sigma = (\rho/\rho_{00})(\lambda \operatorname{tr}(\varepsilon)I + 2\mu\varepsilon - 2\lambda \operatorname{tr}(\varepsilon)\varepsilon - 4\mu\varepsilon^2). \quad (20)$$

При выводе (20) использована формула для вычисления напряжений через тензор деформаций Альманси, полученная из (3):

$$\sigma = -2\rho G \frac{\partial E}{\partial G} = \rho(I - 2\varepsilon) \frac{\partial E}{\partial \varepsilon}.$$



Далее предполагается, что начальные деформации  $\varepsilon_0$ , обусловленные наличием начального поля напряжений  $\Sigma$ , малы, поэтому в ходе преобразований будем сохранять члены, содержащие  $\varepsilon_0$  только в первой степени.

С учетом разложения (15), записанного в матричной форме

$$\varepsilon = \varepsilon_0 - V^T \varepsilon_0 - \varepsilon_0 V + (V + V^T)/2,$$

получаем

$$\begin{aligned} \varepsilon^2 &= \varepsilon_0(V + V^T)/2 + (V + V^T)\varepsilon_0/2, \\ \text{tr}(\varepsilon) &= \text{tr}(\varepsilon_0) - 2 \text{tr}(\varepsilon_0 V) + \text{tr}(V + V^T)/2. \end{aligned}$$

Учитывая, что с точностью до степени первого порядка относительно  $\varepsilon_0$

$$\begin{aligned} \rho &= \rho_{00}(1 - \text{tr}(\varepsilon)) = \rho_{00}(1 - \text{tr}(\varepsilon_0) - \text{tr}(V + V^T)/2), \\ \Sigma &= \lambda \text{tr}(\varepsilon_0)I + 2\mu\varepsilon_0, \end{aligned}$$

выведем следующие формулы для малых возмущений тензора напряжений:

$$\begin{aligned} s &= -\Sigma V - V^T \Sigma - \text{tr}(V + V^T)\Sigma/2 + \lambda(1 - \text{tr}(\varepsilon_0)) \text{tr}(V + V^T)I/2 + \mu(1 - \text{tr}(\varepsilon_0))(V + V^T) - \\ &\quad - 2\lambda \text{tr}(\varepsilon_0 V)I - \lambda \text{tr}(V + V^T)\varepsilon_0 - 2\mu\varepsilon_0(V + V^T) - 2\mu(V + V^T)\varepsilon_0. \end{aligned} \quad (21)$$

Используя определения тензора малых деформаций и тензора малых поворотов (14), выражение для тензора возмущений напряжений можно записать в виде

$$\begin{aligned} s &= -\Sigma(\epsilon + \omega) - (\epsilon^T + \omega^T)\Sigma - \text{tr}(\epsilon)\Sigma + \lambda(1 - \text{tr}(\varepsilon_0)) \text{tr}(\epsilon)I + 2\mu(1 - \text{tr}(\varepsilon_0))\epsilon - \\ &\quad - 2\lambda \text{tr}(\varepsilon_0(\epsilon + \omega))I - 2\lambda \text{tr}(\epsilon)\varepsilon_0 - \mu\varepsilon_0\epsilon - \mu\epsilon\varepsilon_0. \end{aligned}$$

Таким образом, в среде с начальными напряжениями тензор напряжений зависит не только от тензора малых деформаций  $\epsilon$ , но и от тензора малых поворотов  $\omega$ .

Итак, получена замкнутая система уравнений (16), (19), описывающая распространение волн в предварительно напряженной среде:

$$\rho_0 \frac{\partial u^i}{\partial t} - \frac{\partial s^{ik}}{\partial x^k} + V_k^j \frac{\partial \Sigma^{ik}}{\partial x^j} = 0, \quad \frac{\partial V_j^i}{\partial t} - \frac{\partial u^i}{\partial x_j} = 0. \quad (22)$$

Здесь  $s$  вычисляется по формуле (21);  $\rho_0 = \rho_{00}(1 - \text{tr} \varepsilon_0)$ . Начальные деформации  $\varepsilon_0$  вычисляются через начальные напряжения  $\Sigma$  по формуле

$$\varepsilon_0 = \frac{1}{2\mu} \left( \Sigma - \frac{\lambda}{3\lambda + 2\mu} \text{tr} \Sigma I \right).$$

**4. Особенности распространения волн в среде с начальными напряжениями.** Исследуем свойства волновых полей, описываемых уравнениями (22) для упругих волн малой амплитуды, распространяющихся в предварительно напряженной среде. Для этого приведем способ вычисления акустического тензора (тензора Кристоффеля) для системы уравнений (22) с замыкающими соотношениями (21), который целесообразно использовать при анализе скоростей распространения волн. В классической теории упругости акустический тензор возникает при формулировке уравнений в перемещениях, образующих систему трех дифференциальных уравнений второго порядка. В данном случае также рассматриваются уравнения второго порядка, но для скоростей. Эти уравнения можно получить путем дифференцирования первого уравнения системы (22) по времени и исключения производных от  $V_j^i$  с использованием второго уравнения системы (22).

В результате получаем уравнения второго порядка для скоростей

$$\rho_0 \frac{\partial^2 u^i}{\partial t^2} = C_{ijkl} \frac{\partial^2 u^l}{\partial x_j \partial x_k} + B_{ijk} \frac{\partial u^j}{\partial x_k},$$

где модули  $C_{ijkl}$  зависят от  $\lambda, \mu$  и тензора предварительных напряжений  $\Sigma_{ij}$ . Модули  $B_{ijk}$  зависят от пространственных производных тензора начальных напряжений  $\partial\Sigma_{ij}/\partial x_k$ :

$$B_{ijk} = -\frac{\partial\Sigma_{ik}}{\partial x_j}.$$

Ясно, что тензор модулей упругости  $C_{ijkl}$  соответствует анизотропному материалу. Следует отметить, что тензор напряжений  $s^{ik}$ , вычисляемый по формуле (21), линейно зависит от тензора градиента перемещений  $V$ , а значит, является функцией не только тензора деформаций  $\epsilon$ , но и поворота  $\omega$ . Свойства симметрии тензора  $C_{ijkl}$  в общем случае не позволяют отнести предварительно напряженную среду к какому-либо классу кристаллических сред. В уравнении для скоростей присутствуют члены с первыми производными, что может приводить к дисперсии и затуханию упругих волн.

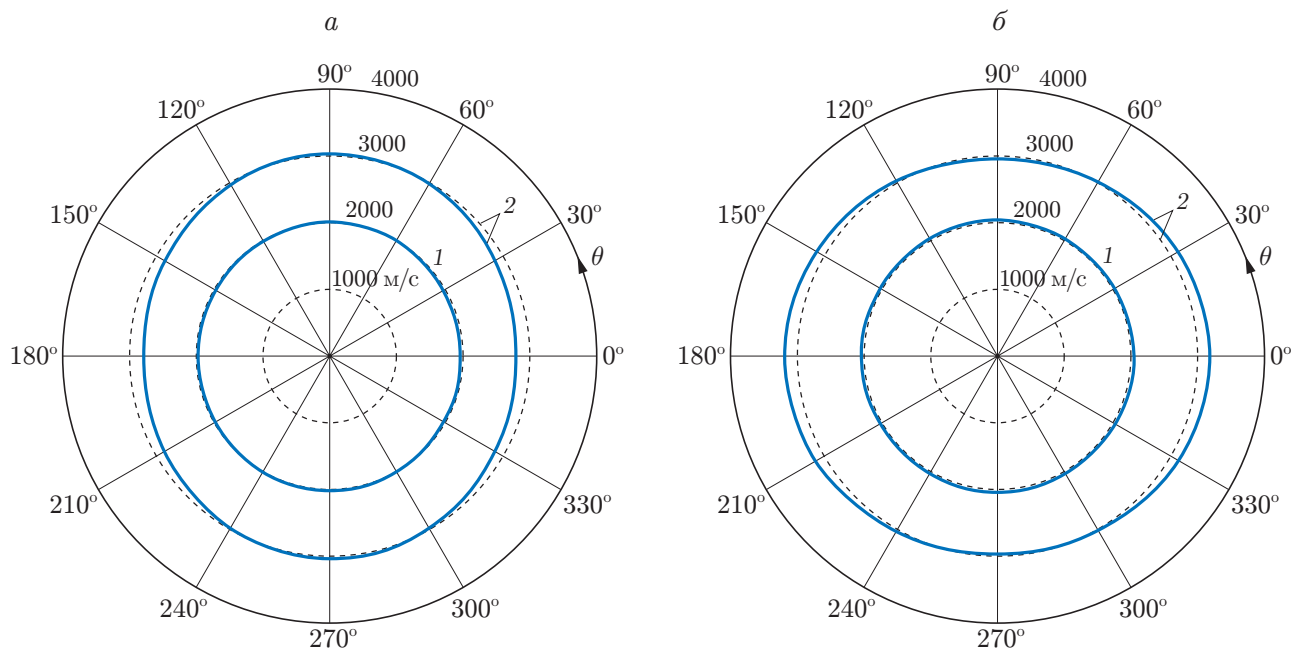
Исследовать свойства анизотропии для произвольно заданного поля начальных напряжений в общем случае затруднительно, поэтому в качестве примера рассмотрим случай одноосного сжатия (растяжения) материала с полем начальных напряжений

$$\Sigma_{11} = -P, \quad \Sigma_{ij} = 0 \quad (ij \neq 11).$$

Если в соответствии с правилом  $C_{ijpq} \rightarrow c_{mn}$  от четырехиндексного обозначения модулей перейти к двухиндексному, выполняя замену индексов  $11 \rightarrow 1, 22 \rightarrow 2, 33 \rightarrow 3, 23, 32 \rightarrow 4, 13, 31 \rightarrow 5, 12, 21 \rightarrow 6$ , то компоненты тензора  $C_{ijpq}$  можно вычислить по формулам

$$\begin{aligned} c_{11} &= \lambda + 2\mu + 6P + \frac{4\lambda(\lambda + \mu)}{\mu(3\lambda + 2\mu)} P, & c_{12} &= \lambda + P + \frac{\lambda(\lambda + 3\mu)}{\mu(3\lambda + 2\mu)} P, \\ c_{21} &= \lambda + \frac{\lambda(\lambda + 3\mu)}{\mu(3\lambda + 2\mu)} P, & c_{13} &= \lambda + P + \frac{\lambda(\lambda + 3\mu)}{\mu(3\lambda + 2\mu)} P, \\ c_{31} &= \lambda + \frac{\lambda(\lambda + 3\mu)}{\mu(3\lambda + 2\mu)} P, & c_{14} &= c_{41} = c_{15} = c_{51} = c_{16} = c_{61} = 0, \\ c_{22} &= \lambda + 2\mu - P - \frac{2\lambda^2}{\mu(3\lambda + 2\mu)} P, & c_{23} &= c_{32} = \lambda - \frac{\lambda(2\lambda - \mu)}{\mu(3\lambda + 2\mu)} P, \\ c_{24} &= c_{42} = c_{25} = c_{52} = c_{26} = c_{62} = 0, & c_{33} &= \lambda + 2\mu - P - \frac{2\lambda^2}{\mu(3\lambda + 2\mu)} P, \\ c_{34} &= c_{43} = c_{35} = c_{53} = c_{36} = c_{63} = 0, & c_{44} &= \mu - \frac{2\lambda}{3\lambda + 2\mu} P, \\ c_{45} &= c_{54} = c_{46} = c_{64} = 0, & c_{55} &= \mu + P - \frac{2\lambda}{3\lambda + 2\mu} P, \\ c_{56} &= c_{65} = 0, & c_{66} &= \mu + P - \frac{2\lambda}{3\lambda + 2\mu} P. \end{aligned}$$

На рисунке показан характер распространения волн в плоскости в предварительно растянутой и предварительно сжатой средах при следующих значениях параметров:  $\Sigma_{11} = \pm\rho_0 V_p^2/50$  (положительное значение начального напряжения  $\Sigma_{11}$  соответствует растяжению, отрицательное — сжатию),  $V_p = \sqrt{(\lambda + 2\mu)/\rho_0} = 3000$  м/с,  $V_s = \sqrt{\mu/\rho_0} = 2000$  м/с,  $\rho_0 = 2000$  кг/м<sup>3</sup>. Из рисунка следует, что в предварительно напряженной среде имеется анизотропия в распределении скоростей продольных волн. Для волн сдвига анизотропия также имеет место, но на рисунке она практически не видна.



Распределение скоростей волн на плоскости в предварительно растянутой (*а*) и сжатой (*б*) средах:

пунктирные линии — среда при отсутствии начальных напряжений, сплошные — среда при наличии начальных напряжений; 1 — распределение скорости волны сдвига по углу  $\theta$ , 2 — распределение скорости продольной волны по углу  $\theta$

Наличие младших членов с первыми производными скоростей с коэффициентами, зависящими от производных начальных напряжений, приводит к дисперсии волновых полей малой амплитуды.

Таким образом, сформулированы уравнения движения предварительно напряженной деформированной среды в виде системы дифференциальных уравнений первого порядка в дивергентной форме для случая конечных деформаций. На основе полученных уравнений предложен способ вывода уравнений распространения волн малых возмущений в предварительно напряженной упругой среде и получены уравнения, описывающие этот процесс, в случае квадратичной зависимости энергии упругой деформации от тензора деформаций. Показано, что при наличии начальных напряжений в распределении скоростей упругих волн имеет место анизотропия, поэтому их следует учитывать, например, при интерпретации сейсмических данных.

## ЛИТЕРАТУРА

1. **Biot M. A.** Mechanics of incremental deformations. N. Y.: Wiley, 1965.
2. **Маслов Б. П.** Приведенные динамические характеристики композитных материалов с начальными напряжениями // Прикл. механика. 1982. Т. 18, № 6. С. 75–80.
3. **Hansen S., Uhlmann G.** Propagation of polarization in elastodynamics with residual stress and travel times // Math. Ann. 2003. Bd 326, N 3. S. 563–587.
4. **Гузь А. Н.** Упругие волны в телах с начальными напряжениями: В 2 т. Киев: Наук. думка, 1986.
5. **Singh I., Madan D. K., Gupta M.** Propagation of elastic waves in prestressed media // J. Appl. Math. 2010. V. 2010. 817680.

6. **Sharma M. D.** Wave propagation in a pre-stressed anisotropic generalized thermoelastic medium // *Earth Planets Space*. 2010. V. 62, N 4. P. 381–390.
7. **Никитин Л. В., Чесноков Е. М.** Влияние напряженного состояния на анизотропию упругих свойств среды // *Изв. АН СССР. Сер. Физика Земли*. 1981. № 3. С. 20–23.
8. **Shams M., Destrade M., Ogden R. W.** Initial stresses in elastic solids: Constitutive laws and acoustoelasticity // *Wave Motion*. 2011. V. 48, N 7. P. 552–567.
9. **Liu Q. H., Sinha B. K.** A 3D cylindrical PML/FDTD method for elastic waves in fluid-filled pressurized boreholes in triaxially stressed formations // *Geophysics*. 2003. V. 68, N 5. P. 1731–1743.
10. **Годунов С. К., Роменский Е. И.** Нестационарные уравнения нелинейной теории упругости в эйлеровых координатах // *ПМТФ*. 1972. № 6. С. 124–144.
11. **Godunov S. K.** Elements of continuum mechanics and conservation laws / S. K. Godunov, E. I. Romenskii. N. Y.: Kluwer Acad.: Plenum, 2003.
12. **Dumbser M., Peshkov I., Romenski E., Zanotti O.** High order ADER schemes for a unified first order hyperbolic formulation of continuum mechanics: Viscous heat-conducting fluids and elastic solids // *J. Comput. Phys*. 2016. V. 314. P. 824–862.
13. **Barton P. T., Romenski E.** On computational modelling of strain-hardening material dynamics // *Comm. Comput. Phys*. 2012. V. 11, N 5. P. 1525–1546.
14. **Barton P. T., Deiterding R., Meiron D., Pullin D.** Eulerian adaptive finite-difference method for high-velocity impact and penetration problems // *J. Comput. Phys*. 2013. V. 240. P. 76–99.
15. **Gavrilyuk S. L., Favrie N., Saurel R.** Modelling wave dynamics of compressible elastic materials // *J. Comput. Phys*. 2008. V. 227. P. 2941–2969.
16. **Лысь Е. В., Роменский Е. И., Чеверда В. А., Эпов М. И.** Взаимодействие сейсмических волн с зонами концентрации начальных напряжений // *Докл. АН*. 2013. Т. 449, № 4. С. 463–466.
17. **Роменский Е. И., Лысь Е. В., Чеверда В. А., Эпов М. И.** Распространение упругих волн в среде с предварительными напряжениями // *Технологии сейсморазведки*. 2014. № 4. С. 5–12.

*Поступила в редакцию 24/IV 2017 г.*

---